黒石嶋橋ハイブリッドセグメント桁 (HS 桁) の緊張について

(株)日本ピーエス 正会員 〇金枝 俊輔

西日本高速道路株式会社 正会員 安藤 尚広

> (株)日本ピーエス 福山 孝徳

(株)日本ピーエス 天谷 公彦

1. はじめに

長崎自動車道黒石嶋橋 PC 上部工改良工事(以下, 本工事)は, 一般県道諫早外環状線(長崎県)が諫早 IC に接続するため、諫早 インターチェンジ E ランプにある黒石嶋橋(以下,本橋)の道路 中心位置をシフトさせ、上下線で独立しているポステン T型桁 橋を連結一体化する工事であった. 施工前および完成時の断面 図を図-1に示す. 既設の中央分離帯と床版の一部を撤去した位 置に新たに PC 桁を設置するものであったが、本橋の下に交通量 の多い国道34号橋が交差しており桁下空間が使用できないこと、 橋長が 27.2m で従来のプレテン桁が適用できないこと、桁幅に 制限があり従来のセグメント工法では横座屈が懸念されること が課題として挙げられた. そこで「ハイブリッドセグメント桁」 (以下, HS 桁)が初めて採用された. 本稿では, HS 桁の緊張管理 方法および緊張管理結果について報告する.

完成時

図-1 施工前および施工完成後の断面図

表-1 工事概要

形式 PC単純ポストテンション合成桁 橋長 27. 200 m 支間長 26.300m コンクリ $\sigma_{\rm ck}$ =60 N/mm 使用材料 PC鋼材 高強度1S15.7ECFストランド

2. HS 析の概要

工事概要を表-1に、主桁構造図および断面図を図-2、図-3 に示す. HS 桁とはセグメント桁の一種であり、プレテンセグ メントから延長した PC 鋼材を用いてポステンセグメントを

現場接合・緊張することで一体化を図る PC 桁である. HS 桁は、高強度コンクリートと高強度 ECF ストラン ドを使用しているため桁高を抑えられ、従来のプレテン桁に比べ適用支間が長く支間 24.0m 以上の橋梁に対し ても適用可能となる.

3. 緊張手順

本橋のポステンセグメントの 主ケーブルは、ケーブル長が短 く角度変化も小さいため, 計算 伸びが全ケーブルで 30mm とな

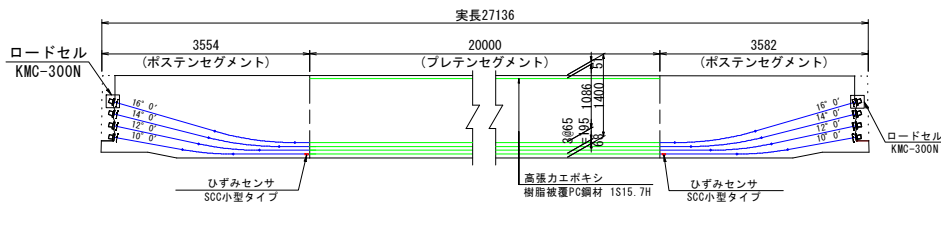


図-2 主桁構造図

った. そこで、引張力と伸びを独立して管理する手法で緊張管理 を実施した. 緊張管理の課題として、ポステンセグメント長が短 くセットロスによって所定のプレストレスが導入できない可能 性があった. そのため、定着具とアンカープレートの間にシム(調 整板)を挿入し、セットロスの影響を排除することとした。シム の挿入を含めた緊張手順を図-4に示す.また,本橋の主桁が新し い構造であることから、C1-R ケーブルの両端定着部にロードセ ルを設置し緊張力を測定した.併せて、セグメント継目部下縁付

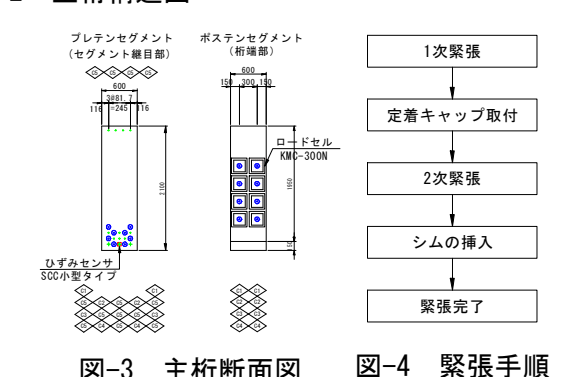


図-4 図-3 主桁断面図

キーワード ハイブリッドセグメント、高強度コンクリート、ECFストランド、プレキャスト構造 連絡先 〒914-8666 福井県敦賀市若泉町3番地 (株)日本ピーエス TEL 0770-22-1400

近にひずみセンサを配置し緊張時のひずみの変化を測定した. 各センサの配置位置を \mathbf{Z} -2、 \mathbf{Z} -3に示す.

施工に先立ち必要なシムの厚さを求めるため、主桁の仮組立を 実施した. 仮組立時の緊張力の測定結果を表-2 に示す. 定着時 が 1 次緊張直後(セットロスの影響有り)、緊張完了時はシム挿入 完了後の緊張力を示す. 表-2 から必要なシムの厚さはケーブル ごとに異なる結果となった. 実際の施工では、必要な緊 張力を確保するため平均値である 13.5mm の厚さのシム を挿入することとした.

4. 緊張管理結果

緊張管理結果を表-3 に示す. 各測定値は,全ケーブルにおいて許容誤差の±10%以内に収まる結果であった. HS 桁では,プレテンセグメントの応力状態はポステンセグメントの緊張作業の影響を受けないため,継目部に所

要のプレストレスを導入できるように緊張作業を行うことが重要と考えられる。今回の緊張では、測定伸び・応力ともに計算値を上回ったことから適切な緊張管理ができたと考えられる。

C1-R ケーブルの緊張力の測定結果および緊張力の推定平均値を 表-4 に示す. 平均値は C1-R ケーブルの実測値を含めて算出してい

る. なお推定値は、全ケーブルの緊張力と伸びの 関係がほぼ同等であったことから摩擦係数を同程 度とし、C1-R の緊張力と伸びの関係を基準として 各ケーブルの緊張力を推定した. 測定緊張力は、 計算値の導入直後の緊張力 223kN に対し下回る結 果であった. そこで、シムの厚さを標準の 13.5mm

から 17mm に変更したところ、計算値に近づく結果となったため全ケーブルのシムの厚さを 17mm として再緊張を行った.ここで、緊張結果の妥当性を検証するため各ケーブルの緊張力の推定平均値を用い、セグメント継目部の応力状態を推定した.セグメント継目部下縁の応力状態の推定結果を表-5 に示す.設計荷重作用時の合成応力度は、A1、A2 側ポステンセグメントともに道路橋示方書に示される許容応力度を満足した.さらに、終局荷重作用時の合成応力度においても許容応力度を満足したことから、所要のプレストレスは導入できたと考えられる.

表-2 仮組立時の緊張力の測定結果

ケーブル	1次緊張	定着時	緊張完了時	シム厚
番号	(kN)	(kN)	(kN)	(mm)
C1-L	223. 6	163.1	218.3	13
C1-R	223.8	167. 2	228.8	13
C2-L	223. 6	166.6	227. 4	12.5
C2-R	224. 3	167.7	225. 3	12.5
C3-L	222. 3	155.5	224. 9	14
C3-R	224. 3	152. 1	221.4	14
C4-L	225. 1	158.8	228. 5	14
C4-R	224. 5	157. 2	228.3	14

表-3 A1 側および A2 側の緊張管理結果

ケーブル	計算伸び	測定伸び(mm)		計算応力	測定応力 (MPa)	
番号	(mm)	A1側	A2側	(MPa)	A1側	A2側
C2-L	30	32	32	51. 3	52	52
C2-R		32	31		52	52
C4-R		32	31		52	52
C4-L		31	31		52	52
C1-L		31	31		52	52
C1-R		32	31		52	52
C3-R		31	31		52	52
C3-L		31	31		53	52

表-4 緊張力の測定および推定結果

ケーブル 番号	A1側		A2側		
	緊張力(kN)		緊張力(kN)		
	シム厚 13.5mm時	シム厚 17mm時	シム厚 13.5mm時	シム厚 17mm時	
C1-R	210. 6	218. 3	214. 9	215. 7	
平均	207. 3	214. 9	215. 8	216. 6	

表-5 セグメント継目部下縁の応力状態の推定結果

荷重の種類	业务店	推定值		** 空亡 + 庄
何里の性知	計算値	A1側	A2側	許容応力度
死荷重合計	-5. 52	-5. 52	-5. 52	=
活荷重(最大時)	-2. 45	-2. 45	-2. 45	=
クリープ・乾燥収縮差	-0. 11	-0. 11	-0. 11	=
プレストレス	8. 77	8. 45	8. 51	=
合成応力度(設計荷重時)	0. 69	0. 37	0.43	$0.00 \le \sigma_{ca} \le 18.00$
合成応力度(終局荷重作用時)	-1.03	-1. 35	-1. 28	-3. 00≦ σ ca

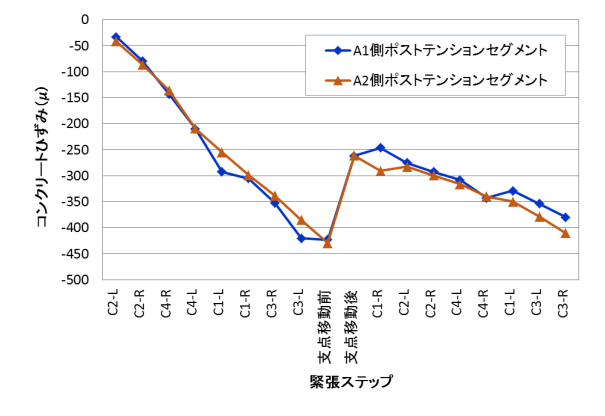


図-5 緊張時のひずみ履歴

緊張時のひずみ履歴を図-5 に示す. A1 側と A2 側ポステンセグメントのひずみはほぼ一致しており, 両端で同等のプレストレスを導入できたものと推測できる.

5. まとめ

緊張管理の結果, 許容される誤差の範囲内でプレストレスを導入できたと考えられる. 必要なシムの厚さは, 事前の仮組立の結果では平均で13.5mm であったが, 実施工時は1次緊張時の緊張力が計算書の緊張力223kN よりも下回ったため17mm に変更し再緊張を行うことで緊張力を確保した. また, A1 側と A2 側ポステンセグメントの諸測定値・推定値は同一の傾向にあり, 両端で同等のプレストレスを導入できたものと考えられる.